

## せん断力を受けるフレートガーダーの極限強度に関する研究

大阪大学 正員 小松達夫  
同院 学生員・山本清光

## 1. まえがき

現在フレートガーダーの腹板の設計規格は腹板の座屈強度により定められている。しかし最近の多くの研究はフレートガーダーの耐荷力は腹板の座屈強度とは直接関係なく、座屈後の強度が存在するかを指摘している。従ってこの後座屈強度を考慮してフレートガーダーを設計する方が有利となる。特に構造物が長大化していくとこのメリットは顕著になる。この後座屈強度に注目し、特にせん断ハネルについて強化場の概念を導入し、Bastler、藤井等の理論の不完全さを補う理論を説明した上で、計算結果と併せて発表する。

## 2. 解析

せん断ハネル付、Fig. 1 に示す如き4種の崩壊形式を考える。フランジ剛度の小さな半分から順に1-st, 2-nd, 3-rd, 4-thとする。Fig. 2 はせん断ハネルの変形機構を示す。まずハネルスパンABにおいて、E鉛直方向に働く分布力q<sub>u</sub>の作用で崩壊するフランジABに仮想変位の原理を適用すると

$$\frac{12a}{c(a-c)} M_p = c q_{u1} + (3a - c) q_{u2} \quad (1)$$

$$\therefore \text{E} q_{u1} = E t \gamma \sin^3 \theta \cos \theta \cdot t_w \quad (2)$$

$$q_{u2} = E t \left( \gamma - \frac{A}{a-c} \right) \sin^3 \theta \cos \theta \cdot t_w \quad (3)$$

$M_p$  : フランジ全塑性モーメント  $t_w$  : 腹板厚

$Et$  : 弾性係数  $A$  : Cのたわみ

式(2), (3)を式(1)に代入して

$$\bar{q} = E t \Delta \sin^3 \theta \cos \theta \cdot t_w / a = \{ q_{u1}(a-c) - M_p / c \} / (a-c/3) \quad (4)$$

次に断面ABで鉛直方向の結合を考えると、せん断力Qは

$$Q = \int_a^b p_{su}(x) dy(x) + \int_{a-t_w}^b p_{su}(y) dy + T \cos \theta \cdot b \cdot t_w \quad (5)$$

$$\therefore Q = p_{su} \sin \theta \cos \theta \cdot t_w, \quad p_{su} = \sqrt{t_w \sin \theta \cos \theta \cdot t_w} \quad (6)$$

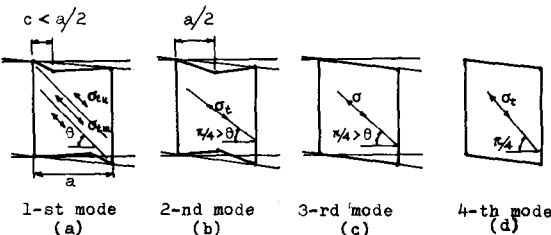


Fig. 1 Mode of failure

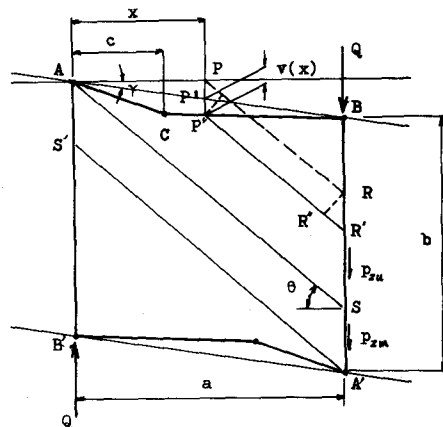


Fig. 2 Deformation of shear panel

$$Q = \sigma_{wy} b \cot \theta - \left[ \left( 1 + \frac{c}{2(a-c)} \right) a + T_{cr} b \cdot \tan \theta \right] \quad (7)$$

トルスカの降伏条件を用ひ方と、斜引張応力は次の値まで増加し得る。

$$\sigma_{tm} = \sigma_{wy} - 2 T_{cr} \sin 2\theta \quad (8)$$

ここで、 $\sigma_{wy}$ 、 $T_{cr}$ はそれぞれ腹板の降伏応力度、せん断座屈応力度である。以上より、極限せん断力は

$$Q = \frac{1}{2} (\sigma_{wy} - 2 T_{cr} \sin 2\theta) \left\{ b \sin 2\theta - \alpha (1 - \cos 2\theta) \right\} t_w + \frac{4 M_{ed}}{c(a-c)} + T_{cr} b t_w \quad (9)$$

$$\therefore \kappa \quad \alpha = a \cdot (a - c/2) / (a - c/3) \quad (10)$$

強力場の傾きθは、せん断力極大条件  $\partial Q/\partial \theta = 0$  より求めらる。(以上 1st. Mode)

フランジが剛で、腹板降伏後も  $\sigma_{wy}$  に対する彈性的な抵抗があるならば 3rd, 4th-mode が生ずる。

= 1 場合強力場の引張応力は、べネル全面にわたる、2 一様に分布する。

$$P_e = P_{au} + P_{am} = \sigma_{cr} \sin \theta \cos \theta t_w = \frac{1}{2} (\sigma_{wy} - 2 T_{cr} \sin 2\theta) \sin 2\theta \cdot t_w \quad (11)$$

$$\text{極限せん断力は } Q = \left\{ \frac{1}{2} (\sigma_{wy} \sin 2\theta + T_{cr} (1 - \sin^2 2\theta)) \right\} b t_w \quad (12)$$

$$\text{傾き } \theta \text{ は } \partial Q/\partial \theta = 0 \text{ と } \cos 2\theta (\sigma_{wy} - 4 T_{cr} \sin 2\theta) = 0 \quad (13)$$

腹板が非常に薄く、せん断座屈応力度が非常に小さく、且つ  $\sigma_{wy} - 4 T_{cr} \sin 2\theta = 0$   $\therefore$  式(14)が成立、 $\therefore$  4th-mode が生じ  $\theta = \pi/4$ 。式(14)が成立しない場合は 3rd-mode となる。

$$\theta (-\theta_0) = \frac{1}{2} \sin^{-1} \frac{\sigma_{wy}}{4 T_{cr}} \quad (15)$$

1st. と 3rd の中間の形態として腹板降伏とフランジ中間点の塑性ヒンジが同時に生ずる 2nd Mode が生ずる。

$$M_p = \frac{\sigma_{wy}^2}{16} (\sigma_{wy} - 2 T_{cr} \sin 2\theta) \sin^2 \theta \cdot t_w \quad (16)$$

極限せん断力は式(16)を満足するθを式(12)に代入して求めらる。

$$\text{但し, } c/a = (0.38 + 1.782 \times M_p / (\sigma_{wy} b t_w)) / 2 (1 + 1.782 \times M_p / (\sigma_{wy} b t_w)) \text{ と仮定する。}$$

### 3. 実験値との比較

上の方法で求めた理論値  $Q_{th}$  と実験値  $Q_{ex}$  を大阪大学にて、T. 実験析 A × M. Skaloud<sup>\*</sup> の TG 研究にて比較したところ Table. 1 の様になり、良好な一致を示す。

Specimen	Web			Flange			a	c	Mode	Longitudinal stiffener	$Q_{ex} \times 10^3$	$Q_{th} \times 10^3$	$Q_{ex}/Q_{th}$
	b(b <sub>1</sub> )	t <sub>w</sub>	$\sigma_{wy}$	b <sub>f</sub>	t <sub>f</sub>	$\sigma_{fy}$							
A-1	67(32)	0.333	4,534	12.5	1.0	3,783	32	None	3rd	1	56.5	55.5	1.02
A-2	75(36)	0.333	4,233	12.5	1.0	3,784	36	None	3rd	1	57.5	56.8	1.01
A-3	75(24)	0.333	4,235	12.5	1.0	3,756	36	None	3rd	2	59.0	61.2	0.96
A-4	83(40)	0.333	4,395	12.5	1.0	3,738	40	20.0	2nd	1	63.0	63.0	1.00
A-5	83(27)	0.333	4,238	12.5	1.0	3,738	40	None	3rd	2	63.5	66.4	0.96
TG 1	100	0.25	2,037	16	0.506	2,862	100	19	1st	0	15.54	14.09	1.10
TG 1	100	0.25	2,037	16	0.526	2,862	100	19	1st	0	11.85	14.15	0.84
TG 2	100	0.25	2,037	20	1.008	2,862	100	19.2	1st	0	16.3	16.98	0.96
TG 2	100	0.25	2,037	20	1.012	2,862	100	19.2	1st	0	14.15	17.01	0.83
TG 3	100	0.25	2,037	20	1.643	2,862	100	50	2nd	0	19.4	19.32	1.00
TG 3	100	0.25	2,037	20	1.642	2,862	100	50	2nd	0	19.35	19.32	1.00
TG 4	100	0.25	2,037	20	2.016	2,862	100	50	2nd	0	22.3	21.86	1.02
TG 4	100	0.25	2,037	20	2.013	2,862	100	50	2nd	0	21.1	21.86	0.97
TG 5	100	0.25	2,037	25	2.975	2,862	100	None	4th	0	31.47	25.46	1.24
TG 5	100	0.25	2,037	25	2.972	2,862	100	None	4th	0	30.5	25.46	1.20

Table 1

単位 kg/cm b<sub>1</sub>: 腹板サギ半径

\* M. Skaloud<sup>\*</sup>,  
Ultimate load and failure mechanism of webs of large  
width-to-thickness ratios, subjected to shear and  
moment attached to flanges of various flexural rigidities,